

## بررسی تنوع ژنتیکی لاین‌های جهش یافته سویا با قدرت ثبت ازت بالا با استفاده از نشانگر ملکولی RAPD

مهردی یونسی حمزه‌خانلو<sup>۱</sup>، علی ایزدی دریندی<sup>۲\*</sup>، محمد طاهر حلاجیان<sup>۳</sup>، نجات پیرولوی بیرانوند<sup>۴</sup>، عباس مجداًبادی<sup>۵</sup>

۱ و ۲- به ترتیب دانشجوی کارشناسی ارشد و استادیار پردیس ابوریحان، دانشگاه تهران

۳، ۴ و ۵- به ترتیب مریبان و استادیار پژوهشکده سازمان انرژی اتمی ایران

\*نویسنده مسئول مکاتبات، پست الکترونیکی: Aizady@ut.ac.ir

(تاریخ دریافت: ۹۰/۱۰/۱۱ - تاریخ پذیرش: ۹۰/۳/۲۹)

### چکیده

در این تحقیق بررسی تنوع ژنتیکی نسل هفتم (M<sub>7</sub>) ۳۳ لاین جهش یافته سویا با ثبت ازت بالا حاصل از پرتوتابی رقم مادری L17 با اشعه گاما به همراه دو رقم تجاری ویلیامز و کلارک و رقم مادری L17 با استفاده از ۱۰ آغازگر تصادفی RAPD حاصل انجام گرفت که مجموعاً ۱۰۴ باند قابل امتیازدهی بدست آمد. ازین این ۱۰۴ باند ۳۴ باند یک شکل و بقیه (۷۰ باند) چند شکل بودند. برای برآورد شباهت بین لاین‌های بررسی شده و ارقام تجاری و مادری از ضربیت تشابه جاکارد استفاده شد. میزان تشابه در بین افراد بررسی شده بین ۰/۷۹-۰/۱۷ متفاوت بود. بر اساس ماتریس تشابه، لاین جهش یافته شماره ۳۲ (M32) مشابه‌ترین لاین به رقم مادری و لاین جهش یافته شماره ۹ (M9) دورترین لاین جهش یافته نسبت به رقم مادری بود. گروه بندی ژنوتیپ‌ها به روش تجزیه خوش‌ای و با استفاده از الگوریتم CL (دورترین همسایه) لاین‌ها و ارقام بررسی شده در هفت گروه مختلف قرار گرفتند. با توجه به تنوع بالایی که لاین‌های جهش یافته از خود نشان دادند این لاین‌ها می‌توانند در برنامه‌های آتی اصلاح نباتات برای توسعه ارقام مورد نظر استفاده شوند.

### واژه‌های کلیدی

تنوع ژنتیکی،  
جهش یافته،  
سویا،  
.RAPD

### مقدمه

سویا (*Glycine max* L.) از گیاهان مهم زراعی و با ارزش‌های فراوان در تأمین نیازهای غذایی بشر است. از این جهت شناسایی منابع ژنتیکی اولیه و تلاش در ایجاد ذخایر ژنتیکی با ارزش جدید می‌تواند رهیافت بسیار مهم اصلاحی باشد. تنوع ژنتیکی به منزله ماده اولیه فعالیت‌های اصلاح نباتات است و جهش این تنوع ژنتیکی را افزایش می‌دهد. نتایج حاصل از بررسی تنوع ژنتیکی با استفاده از نشانگرهای مولکولی نشان می‌دهد که تنوع ژنتیکی در گیاه سویا نسبت به سایر گیاهان محدودتر است. گزارش شده که در هر مکان ژنی سویا معمولاً فقط دو ال چند شکلی طولی قطعات محدود شده (RFLP) وجود دارد (۲، ۳). هنگامی که تنوع ژنتیکی به واسطه استفاده از روش‌های متداول اصلاح نباتات محدود گردد، جهش‌های القائی می‌تواند مهم‌ترین روش برای توسعه تنوع ژنتیکی در مواجه با شرایط تنگنا باشد.

*Archive of SID*

کشاورزی، پژوهشگاه علوم و فنون هسته‌ای، سازمان انرژی اتمی ایران به دست آمده بودند بررسی شدند. در این تحقیق از رقم L17 (که لاین‌های جهش یافته از آن بوجود آمده بودند) و ارقام تجاری ویلیامز (WI) و کلارک (CL) که از بخش دانه‌های روغنی مرکز تحقیقات اصلاح نهال و بذر کرج تهیه شده بودند نیز استفاده شد.

## استخراج DNA و PCR

تمامی مواد مورد نیاز برای انجام واکنش از شرکت سینا ژن خریداری شد. استخراج DNA بر مبنای روش شارما و همکاران (۱۴) صورت گرفت. از بین تعداد زیادی آغازگر، تنها ۱۰ آغازگر ده نوکلئوتیدی (جدول ۱) که چندشکلی مناسبی را برای نمونه‌های مورد مطالعه داشتند برای این تحقیق انتخاب شدند. واکنش زنجیره‌ای پلیمراز<sup>۳</sup> (PCR) در حجم ۲۵ میکرولیتر شامل ۱۷/۸۵ میکرولیتر آب مقطر دو بار تقطیر، ۲/۵ میکرولیتر بافر واکنش ۱۰ برابر، ۰/۲۵ میکرولیتر مخلوط نوکلئوتیدی ۱۰ میلی مولار، یک میکرولیتر آغازگر ۱۰ نوکلئوتیدی (۴/۰ مول در میکرولیتر)، ۰/۵ میکرولیتر آنزیم تک پلیمراز (۵ واحد/میکرولیتر)، ۱/۴ میکرولیتر کلرید منیزیم و ۱/۵ میکرولیتر RAPD بر اساس روش شارما و همکاران (۱۴) انجام گرفت. از دستگاه ترموسایکلر اپندورف برای چرخه‌های دمایی واکنش استفاده شد. چرخه‌های دمایی واکنش PCR عبارت بود از دو چرخه به صورت، ۹۴°C، ۹۴°C دقيقه برای واسرتسته سازی، ۳۵°C، یک دقیقه برای اتصال، C، ۷۲°C، یک دقیقه برای تکثیر، سپس دو چرخه به صورت، ۹۴°C، ۹۴°C دقيقه برای واسرتسته سازی، ۳۵°C، ۳۵°C دنیه برای اتصال و ۷۲°C، یک دقیقه برای تکثیر، سپس ۴۰ چرخه به صورت، ۹۴°C، ۹۴°C دنیه برای اتصال و در نهایت یک مرحله به صورت، ۷۲°C، ۵ دقیقه برای تکثیر نهایی بود. پس از اتمام چرخه‌ها محصولات واکنش از دستگاه خارج شده و تا قبل از الکتروفورز در دمای ۴ درجه سانتی‌گراد نگهداری شدند. واکنش‌های PCR هت تعیین تکرارپذیری نشانگرهای RAPD حداقل دو بار تکرار شدند. محصولات PCR در ژل‌های آگارز ۱/۵ درصد، بافر TAE و ولتاژ

آزمایشات اصلاحی از طریق جهش منجر به شناسایی بسیاری از لاین‌های جهش یافته با صفات مطلوب مانند مقاومت به ریزش غلاف، محتوای پایین لینولئیک اسید<sup>۱</sup> و محتوای بالای اولئیک اسید<sup>۲</sup> در گیاه سویا شده است (۴). از جهش‌زاهای فیزیکی مانند اشعه گاما و ترکیب آن با جهش‌زاهای شیمیایی مانند اتیل متان سولفانات برای القای تغییرات ژنتیکی و یا القای مقاومت به بیماری‌ها و سموم مانند سم آترازین در سویا و سایر گیاهان به طور موفقیت‌آمیزی استفاده شده است (۵ و ۶) به طوری که بیش از ۲۳۰۰ واریته جهش یافته با استفاده از اشعه‌های موتاژنی آزاد شده است (۷). بررسی‌های ژنتیکی و مورفو‌لوزیکی نشان داده است که این گونه جهش‌ها باعث ایجاد تغییرات قابل توجهی هم در سطح ماده ژنتیکی و هم در سطح مورفو‌لوزیکی گردیده است، که این تغییرات می‌تواند در راستای اهدافی باشد که محققان به دنبال آن هستند (۸ و ۹). نشانگر RAPD به طور موفقیت‌آمیزی برای شناسایی تنوع جهش‌یافته‌ها در بسیاری از گیاهان مانند سویا استفاده شده است. این گونه تغییرات که بواسطه تغییر در تک مکان یا بیش از یک مکان ژنی و یا بواسطه حذف و اضافه شدن توالی DNA می‌باشد، می‌تواند بواسطه تغییراتی که در مکان‌های اتصال آغازگرها اتفاق می‌افتد آشکار شود (۱۰، ۱۱، ۱۲ و ۱۳). بررسی تنوع لاین‌های جهش یافته با قدرت تثبیت ازت بالا حاصل از پرتوتدهی با اشعه گاما، مقایسه تنوع لاین‌های جهش یافته، رقم مادری و ارقام تجاری از لحاظ نشانگرهای مولکولی (RAPD) و گروه‌بندی آنها جهت بهره‌برداری‌های اصلاحی از اهداف مورد نظر در این تحقیق بود. مطالعات اولیه نشان داده است که لاین‌های حاضر از نظر قدرت تثبیت ازت نسبت به رقم مادری L17 و سایر لاین‌های جهش یافته برتر می‌باشند (۱).

## مواد و روش‌ها

## مواد گیاهی

تنوع ژنتیکی در نسل هفتم ۳۳ لاین جهش یافته رقم L17 که قبل از پرتوتابی بذور با دزهای ۱۵۰، ۲۰۰ و ۲۵۰ گری با استفاده از اشعه گاما در گروه پژوهشی کشاورزی هسته‌ای تحقیقات

<sup>1</sup> Linoleic acid<sup>2</sup> Oleic acid<sup>3</sup> Polymerase chain reaction

*Archive of SID*

تکثیر نمود که ۷۰ باند از بین آن‌ها (۶۷ درصد) چند شکل بودند (جدول ۱). میانگین چندشکلی به دست آمده با ۱۰ آغازگر ۶۷ درصد بود. میانگین PIC به دست آمده برابر با ۰/۸۰۱ بود. میزان PIC برای ۱۰ نشانگر بررسی شده بین ۰/۷۴ تا ۰/۸۷ متغیر بود. PIC نه تنها با در نظر گرفتن تعداد ال‌های یک مکان ژنی بلکه با در نظر گرفتن فراوانی نسبی این ال‌ها یک برآورده از قدرت تمیز هر نشانگر را ارائه می‌کند. مقدار PIC به دست آمده بیانگر قدرت تشخیص بالای آغازگرهای استفاده شده می‌باشد ضریب همبستگی کوفتیک<sup>۳</sup> (بین ماتریس تشابه جاکارد و ماتریس کوفتیک) ۰/۷۸ بود. ضریب همبستگی کوفتیک بالای ۰/۹ نشانه کارآیی بالای تجزیه خوش‌های می‌باشد. و هرچه ضریب همبستگی کمتر از ۰/۸ باشد نشانگر عدم کارآیی مطلوب تجزیه خوش‌های می‌باشد ولی در مورد نشانگرهای مولکولی ضریب همبستگی کوفتیک ملاک نیست و معمولاً پایین است (۱۵) لذا ضریب همبستگی کوفتیک به دست آمده در این تحقیق قابل قبول می‌باشد. با توجه به دندروگرام حاصل از روش CL یا دورترین همسایه‌ها (شکل ۱) لاین‌های بررسی شده (لاین‌های جهش یافته، ارقام تجاری و رقم والدی L17) در ۷ گروه مختلف قرار گرفتند که ضریب تشابه بین آن‌ها از ۰/۱۷ تا ۰/۷۹ متغیر بود. گروه اول شامل ۱۳ فرد بود که لاین‌های جهش یافته در کنار رقم مادری (L17) قرار گرفته بودند. گروه دوم شامل ۱۳ لاین جهش یافته بود.

<sup>3</sup>Cophenetic correlation

ثابت ۸۰ به مدت ۸۰ دقیقه الکتروفورز گردیدند. ژل‌ها با محلول ۰/۵ میکروگرم/میکرولیتر اتیدیوم بروماید رنگ‌آمیزی شدند و پس از قرار گرفتن در زیر نور فرابنفش (۲۶۰ نانومتر) عکس برداری از آن‌ها انجام گردید.

## محاسبات آماری

برای تجزیه داده‌های حاصل از نشانگر RAPD ابتدا به خاطر کیفی بودن ماهیت آن‌ها ماتریس صفر و یک تشکیل شد. باندهای یک شکل که در تمام افراد تکثیر شده بودند، از تجزیه حذف شدند. ماتریس داده‌ها که در آن ردیف‌ها نماینده لاین‌ها و ستون‌ها نماینده نشانگرها بودند در نرم افزار NTSYS مورد تجزیه و تحلیل قرار گرفت. برای محاسبه ماتریس تشابه در اندازه‌گیری شباهت بین ژنوتیپ‌ها از ضریب تشابه جاکارد<sup>۱</sup> استفاده شد. در این تحقیق روش CL<sup>۲</sup> یا دورترین همسایه‌ها برای گروه‌بندی ژنوتیپ‌ها به کار برده شد. برای به دست آوردن درصد چند شکلی تعداد قطعات چند شکل بر تعداد قطعات کل تقسیم شد و در عدد ۱۰۰ ضرب گردید. برای محاسبه PIC از فرمول روبرو استفاده شد،  $H_e = 1 - \sum P_i^2$  که هتروزیگوستی مورد انتظار یا همان PIC می‌باشد و  $P_i$  فراوانی آلل آنم می‌باشد.

## نتایج و بحث

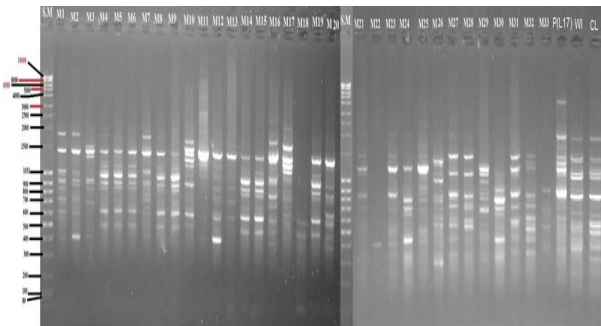
نتایج تکرار واکنش زنجیره‌ای پلیمراز (PCR) نشان داد که در شرایط تکثیری یکسان الگوی باندی RAPD بطور مشابه خواهد بود. واکنش PCR با ۱۰ آغازگر تعداد ۱۰۴ باند قابل نمره‌دهی را

<sup>1</sup>Jaccard<sup>2</sup>Complete linkage

جدول ۱- درجه چندشکلی و اطلاعات مربوط به آغازگرهای استفاده شده برای لاین‌های بررسی شده

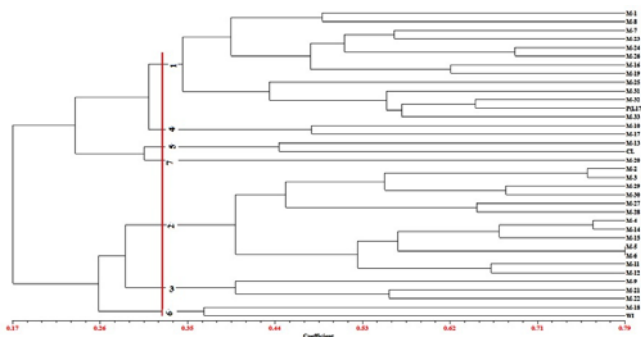
PIC	درصد چند شکلی	تعداد قطعات چند شکل	مجموع قطعات	توالی (۵'-۳')	آغازگر	شماره
۰/۷۷	۸۳	۵	۶	CAGGCCCTTC	OPA-01	۱
۰/۷۹	۶۴	۷	۱۱	TGCCGAGCTG	OPA-02	۲
۰/۸۰	۵۸	۷	۱۲	AGTCAGCCAC	OPA-03	۳
۰/۷۳	۴۴	۴	۹	AATCGGGCTG	OPA-04	۴
۰/۸۷	۷۳	۸	۱۱	AGGGTCTTG	OPA-05	۵
۰/۸۳	۸۳	۱۰	۱۲	GAAACGGGTG	OPA-07	۶
۰/۸۶	۸۲	۹	۱۱	GTGACGTAGG	OPA-08	۷
۰/۸۰	۶۴	۷	۱۱	GGGTAACGCC	OPA-09	۸
۰/۷۴	۶۰	۶	۱۰	GTGATCGCAG	OPA-10	۹
۰/۸۲	۶۴	۷	۱۱	CAATCGCCGT	OPA-11	۱۰
۰/۸۰۱	۶۷	۲۰	۱۰۴			

کدام از آغازگرها بین ۶ (OPA-01) تا ۱۲ باند (OPA-03, OPA-07) متغیر بود که میانگین باندها  $10/4$  باند برای هر آغازگر بود. این نتیجه تقریباً با نتایج واپور و پاول (۱۶) مطابقت دارد که نشان داده بودند اکثر آغازگرهای ۱۰ تایی در گیاهان قادر به تولید ۲ تا ۱۰ محصول تکثیری مختلف هستند.



شکل ۲- الگوی باندی برای لاین‌های جهش یافته (M1-M33)، رقم L17 مادری OPA-09 (P) و ارقام تجاری ویلیامز (WI) و کلارک (CL) حاصل از آغازگر S.M نشان دهنده نشانگر اندازه می‌باشد با توجه به شکل رقم L17 مادری (P) شامل باندی می‌باشد که در لاین‌های جهش یافته حذف شده است.

با توجه به دندروگرام CL و تنوع باندی موجود، تفکیک لاین‌های جهش یافته از ارقام تجاری (ویلیامز و کلارک) و رقم مادری (L17) و قرار گرفتن آنها در هفت گروه مختلف می‌تواند به واسطه جهش (حذف یا اضافه شدن) در مکان‌های اتصال آغازگرها باشد. بر اساس شکل (۲) در محصول PCR رقم مادری حاصل از آغازگر OPA09 باند حدود ۳ کیلو باز به طور انحصاری دیده می‌شود که این باند در سایر لاین‌های جهش یافته وجود ندارد و حذف شده است. همسانسازی و تعیین توالی این فراورده و معروفی آن به عنوان یک نشانگر<sup>۱</sup> SCAR می‌تواند مناسب باشد. این نشانگر را جهت شناسایی رقم والدی از لاین‌های جهش یافته به راحتی می‌توان استفاده کرد. افزون بر این تعیین توالی و جستجوی مشابهت‌های آن در بانک اطلاعاتی می‌تواند مقدمه‌ای برای بررسی‌های تکمیلی ژنتیک برگشتی و تعیین نقش احتمالی آن باشد. در این بررسی با استفاده از ۷۰ باند چند شکل امتیازبندی ژنتیک‌ها انجام شد. تنوع موجود در شدت باندها و حذف برخی از باندها می‌تواند با میزان باند تولید شده از



شکل ۱- دندروگرام CL برای ۳۳ لاین جهش یافته، دو رقم تجاری ویلیامز (WI) و کلارک (CL) (P) و رقم L17 مادری (CL) (WI) بر اساس نشانگرهای RAPD

گروه سوم و چهارم هر کدام به ترتیب شامل سه و دو لاین جهش یافته بود. گروه پنجم شامل رقم تجاری کلارک (CL) و لاین جهش یافته شماره ۱۳ (M13) بود. گروه ششم شامل رقم تجاری ویلیامز (WI) و لاین جهش یافته شماره ۱۸ (M18) بود. گروه هفتم فقط شامل لاین جهش یافته شماره ۲۰ (M20) بود. با توجه به ماتریس تشابه جاکارد لاین جهش یافته شماره ۳۲ (M32) با ضریب تشابه ۰/۶۴۳، مشابه‌ترین لاین به رقم مادری (L17) بود. لاین جهش یافته شماره ۹ (M9) که در گروه سوم قرار گرفته است با ضریب تشابه ۰/۲۶۲ دورترین لاین جهش یافته شماره ۱۸ (L17) بود. در بین لاین‌های بررسی شده لاین‌های رقم مادری (L17) و لاین جهش یافته شماره ۵ (M5) و شماره ۶ (M6) با ضریب تشابه ۰/۷۹۴ و لاین جهش یافته شماره ۹ (M9) و رقم تجاری کلارک (CL) با ضریب تشابه ۰/۱۷۵، به ترتیب مشابه‌ترین و دورترین (متفاوت‌ترین) لاین‌ها نسبت به هم دیگر بودند. با اینکه لاین‌های جهش یافته با استفاده صفات مورفولوژیکی قابل شناسایی از لاین مادری و ارقام تجاری هستند ولی در مواردی که تعداد افراد زیاد است و اثرات محیطی وجود دارد، می‌تواند باعث ایجاد محدودیت‌هایی شود. استفاده از نشانگرهای مولکولی به عنوان روش جایگزین می‌تواند بر این مشکل فائق آید. القاء جهش با استفاده از اشعه‌های یونزا با اثرات متقابل اشعه با گیاه شروع می‌شود. تغییر ژنتیکی با استفاده از اشعه‌های یونزا بر روی و تحریک مولکول DNA ایجاد می‌شود. اشعه‌های یونزا بر روی مواد و راثتی دو اثر دارد: جهش ژئی و شکست کروموزومی. القاء جهش با افزایش تنوع ژنتیکی مرتبط می‌باشد و در برنامه‌های اصلاح نباتات به کار می‌رود. تعداد باندهای تولید شده توسط هر

<sup>1</sup> SCAR: Sequence Characterized Amplified Region

*Archive of SID*

مادری وجود داشت نشان دهنده وجود تنوع ژنتیکی مشخص آن-هاست. یعنی جهش در نقاط اتصال این آغازگرها تغییراتی ایجاد کرده است که منجر به تفاوت محصولات PCR تولید شده از لاین‌های جهش یافته و مادری شده است. تجزیه خوشهای بر اساس نشانگر RAPD به خوبی این تنوع و اختلاف را نشان داد و گروه لاین‌های جهش یافته را از رقم مادری و ارقام تجاری جدا کرد. تجزیه خوشهای بر اساس نشانگر ژنتیکی تنوع موجود بین لاین‌های جهش یافته، تجاری و رقم مادری را آشکار ساخت. این تحقیق نشان داد که نشانگرهای مولکولی مانند RAPD برای بررسی تنوع ژنتیکی لاین‌های جهش یافته مناسب می‌باشد زیرا تجزیه خوشهای با استفاده از نشانگر RAPD باعث تفکیک گروه-های زیادی شد. نشانگر RAPD با اندازه حدود ۳ کیلو باز منحصرًا در رقم مادری مشاهده شد که قابل تبدیل به نشانگر SCAR است. با توجه به تنوعی که این لاین‌ها از لحاظ نشانگر ژنتیکی بررسی شده نشان دادند پیشنهاداتی را می‌توان به این شرح ارائه داد. شناسایی لاین‌های جهش یافته‌ای که فاصله ژنتیکی زیادی با رقم مادری داشته باشند می‌تواند منجر به شناسایی لاین‌های جهش یافته با ژن‌های مطلوبی شود که این لاین‌ها سازگاری بهتری را نسبت به رقم والدی و ارقام تجاری در شرایط تنفس‌های زیستی و غیر زیستی از خود نشان دهد. همچنین با توجه به اینکه قبلاً مشخص شده بود که این لاین‌ها دارای صفات مطلوب و برتری از جمله تثیت بیولوژیک نیتروژن بالاتر نسبت به والد خود می‌باشند (۱) می‌توان باندهای اختصاصی مرتبط با این صفت را در جهش یافته‌های با خصوصیات گره‌زایی و تثیت ازت بالا مشخص نمود. مقدار PIC محاسبه شده نشان‌دهنده قدرت تمییز بالای آغازگرها استفاده شده می‌باشد. لاین‌های جهش یافته حاضر می‌توانند در شرایط مزرعه‌ای برای مقاومت به انواع بیماری‌ها و پاتوژن‌ها مورد ارزیابی قرار گیرند و لاین‌های مقاوم انتخاب شوند. با ایجاد لاین‌های مقاوم به پاتوژن‌ها و بیماری‌ها سومون کمتری مصرف می‌شود و در نهایت آسیب جدی به اکوسیستم کشاورزی وارد نمی‌شود.

DNA الگو بعد از جهش، در ارتباط باشد که تعداد مکان‌های اتصالی آنزیم Taq پلیمراز را تغییر می‌دهد. ظهور باندهای جدید معمولاً به واسطه تغییرات ساختاری (شکست، جابجایی، حذف و ...) DNA می‌باشد. راینا و همکاران (۱۷) گزارش کردند که چندشکلی نشانگر RAPD در اکوتیپ‌های مختلف مورفو‌لوزیکی و فیزیولوزیکی بادام زمینی ۴۲/۷ درصد می‌باشد که این تنوع به واسطه جهش در DNA هسته‌ای می‌باشد. سوفرامانین و همکاران (۱۸) جهش‌های حذفی و اضافه شده بیشتری را در بلک گرم<sup>۱</sup> در مقایسه با رقم مادری مشاهده کردند که لاین‌های جهش یافته با استفاده از اشعه گاما ایجاد شده بودند. نتیجه مشابه نشان داد که جهش یافته‌ها نسبت به والدین باندهای بیشتری را نشان دادند (۱۹). پرتوتابی اشعه گاما منجر به افزایش شکست‌ها در DNA می‌شود. این شکست‌ها می‌توانند با استفاده از تغییرات در الگوهای باندی RAPD شناسایی شوند (۱۳). مکان-های RAPD تنوع زیادی از الگوی باندی DNA را نشان دادند به طوری که ۲۷ درصد تغییرات حاصل ناشی از دو آغازگر-OPA ۰۷ و OPA-08 بود. وجود چنین تنوعی در بین این لاین‌ها و ارقام تجاری و مادری نشان دهنده پتانسیل بالای اشعه‌های یونزا برای ایجاد تنوع در گیاهانی مانند سویا می‌باشد. همان‌طوری که قبلاً مشخص شده بود این لاین‌ها از نظر تثیت ازت نسبت به رقم مادری برتری داشته‌اند (۱) و لذا دستیابی به تنوع ژنتیکی و اثبات این تنوع (تنوع بین لاین‌های جهش یافته و رقم تجاری) می‌تواند مسیر روشنی را برای بهره‌برداری هرچه بیش‌تر و کاربردی‌تر این لاین‌ها در پیش روی اصلاح‌گران قرار دهد تا با دیدی بازتر و روشن‌تر به استفاده از این لاین‌ها بپردازند. در این ارتباط محققان مختلفی از این ابزار برای سنجش تنوع القا شده توسط اشعه گاما استفاده کرده‌اند تا بتوانند نحوه تأثیر و میزان تنوع القا شده را با استفاده از گروه بندی افراد و سنجش میزان دوری افراد نسبت به رقم مادری بسنجد و در نهایت از آن‌ها برای اهداف مختلف بهره ببرند (۲۰، ۲۱، ۶ و ۱۲). تنوع الگوی باندی حاصل از آغازگرها تصادفی که بین لاین‌های جهش یافته و

<sup>۱</sup> Black gram

۱. یرولی بیرانوند ن، عباسعلیان ح، موسوی شلمانی م ا و صیادی ر(۱۳۸۵) ارزیابی تثبیت بیولوژیک نیتروژن برخی موتانت‌های گیاه سویا حاصل از پرتو دهی با اشعه گاما. نهمین کنگره علوم زراعت و اصلاح نباتات ایران- دانشگاه تهران- پردیس ابوریحان.
2. Keim P , Schupp J M, Travis S E, Clayton K, Zhu T, Shi L, Ferreira A, and Webb D M (1997) A high density soybean genetic map based on AFLP markers Crop Science 37: 537-543
3. Skorupska H T , Shoemaker R C, Warner A, Shipe E R and Bridges W C(1993) Restriction fragment length polymorphism in soybean germplasm of the southern USA Crop Sci 33:1169-1176
4. Rahman S M , Takagi V, Kubota K, Miyamoto K and Kawakita V(1995) High oleic acid mutant in soybean induced by X-ray irradiation Biosci Biotech Biochem 59: 922-933
5. Villavicencio A L C H , Araujo M M, Baldassoa J G, Aquino S, Konietznyb U and Greiner R(2004) Irradiation influence on the detection of genetic-modified Soybeans Radiation Physics and Chemistry 71 (2004) 489-492
6. Atak Ç, Alikemanoglu S, Acik L, and Canbolat Y(2004) Induced of plastid mutations in soybean plant (*Glycine max* L Merrill) with gamma radiation and determination with RAPD Mutation research 556:35-44
7. Jain S M (2005) Major mutation-assisted plant breeding programs supported by FAO/IAEA Plant Cell Tiss Org Cult 82:113-123
8. Khan M H , and Tyagi S D(2009) Studies on induction of chlorophyll mutations in soybean, *Glycine max* (L ) Merrill Front Agric China 2009, 3(3): 253-258
9. Manjaya J G , Suseelan K N, Gopalakrishna T, Pawar S E and Bapat V A(2007) Radiation induced variability of seed storage proteins in soybean [*Glycine max* (L ) Merrill] Food Chemistry 100, 1324-1327
10. Kumar S, Prasad K V and Choudhary M L(2006) Detection of genetic variability among chrysanthemum radiomutants using RAPD markers Current Sci 90:1103-1118
11. Caetano-Anolles G, Bassam B J and Gresshoff P M(1991) DNA amplification fingerprinting using very as useful genetic markers for analysis of genetic diversity, varietals identification, and phylogenetic relationships in peanut (*Arachis hypogaea*) cultivars and wild species Genome 44: 763-772
- short arbitrary oligonucleotide primers Biotechnol 9: 553-5
12. Raisheed M S , Asad S, Iqbal M J, Mukhter Z, Zaffar Y and Malik K A(2001) Polymorphic studies employing RAPD analysis in stress-induced variants of sugarcane developed through in-vitro techniques Pak Sugar J 16(6): 15-26
13. Senthamizh S B , Ponnuswami V and Kavitha P S(2008) Use of RAPD assay for the detection of mutation changes in caonla (*Emblica officinalis* Gaertn ) Adv Nat Appl Sci 2(3): 129-134
14. Sharma R , Mahila H R, Mohapatra T, Bhargava S C and Sharma M M(2003) Isolating Plant Genomic DNA Without Liquid Nitrogen Plant Molecular Biology Reporter 21: 43-50
15. Rohlf F J (1987)NTSYS-pc: Micro-computer programs for numerical taxonomy and multivariate analysis. Amer. Statistician, 41:330.
16. Waugh R and Powell W(1992) Using RAPD Markers for Crop Improvement Trends Biotech,10: 186-190
17. Raina S N , Rani V, Kojima T, Ogihara Y, Singh K P and Devarumath R M(2001) RAPD and ISSR fingerprints
18. Souframanien J, Pawar S E and Rucha A G(2002) Genetic variation in gamma ray induced mutants in black gram as revealed by RAPD and ISSR markers Indian J Genet 4: 291-295
19. Banerjee H , Pai R A, and Sharma R P(1999) Restriction fragment length polymorphism and random amplified polymorphic DNA analysis of chickpea accessions Biol Plant 42: 197-208.
20. Ganapathi T R , Sidha M, Suprasanna P , Ujjappa K M, Bapat V A and D'Souza S F(2008) Field performance and RAPD analysis of gamma-irradiated variants of banana cultivar 'Giant Cavendish' (AAA) Int J Fruit Sci 8(3): 147-159
21. Wendt S N , Peters J A, Oliveira A C, Bobrowski V L, Cosa E L C , Madruga C S and Vighi I L(2001) Plant regeneration and molecular characterization of potato cultivar Macaca, obtained from gamma irradiation explants J New Seeds, 3(2): 17-37